

## НАБЛЮДЕНИЕ ЛАЗЕРНЫХ САТЕЛЛИТОВ В ПЛАЗМЕ, СОЗДАВАЕМОЙ ФЕМТОСЕКУНДНЫМ ЛАЗЕРНЫМ ИМПУЛЬСОМ

С.А.Пикуз<sup>+</sup>, А.Максимчук\*, Д.Умштадтер\*, М.Нантел\*, И.Ю.Скобелев<sup>□</sup>,  
А.Я.Фаенов<sup>△</sup>, А.Остерхельд<sup>▽</sup>

+ Физический институт П.Н.Лебедева РАН, 118927 Москва, Россия

\* Центр сверхскоростных оптических исследований Анн Арбор, Мичиган, США

□ Центр данных по "Атомной спектроскопии" ВНИИФТРИ  
141570 Менделеево, Московская обл., Россия

▽ Ливерморовская национальная лаборатория Калифорния, США

Поступила в редакцию 2 сентября 1997 г.

Зарегистрированы лазерные сателлиты в спектрах излучения магниевой и алюминиевой плазм, создаваемых лазерными импульсами фемтосекундной длительности. Это оказалось возможным за счет реализации пикосекундного временного разрешения в высокосветосильном рентгеновском спектрографе со сферически изогнутым кристаллом слюды. Временные характеристики зарегистрированных новых спектральных линий однозначно указывают на их формирование за счет нелинейных процессов.

PACS: 06.60.Jn, 42.65.Re

Присутствие сильных осциллирующих электрического и магнитного полей может существенно влиять на эмиссионные характеристики ионов. Виноградов и Юков [1] теоретически показали, что при помещении иона в сильное лазерное поле в его излучательном спектре должны появляться новые спектральные линии, названные ими лазерными сателлитами. Лазерные сателлиты обусловлены нелинейным взаимодействием излучения с возбужденными состояниями  $B^*$  ионов, в результате которого лазерные фотонны  $\hbar\omega_{las}$  преобразуются в фотонны  $\hbar\omega'$  и  $\hbar\omega''$  с частотами  $\omega' = \omega_{B^*B} + \omega_{las}$ ,  $\omega'' = \omega_{B^*B} - \omega_{las}$ , где  $\hbar\omega_{B^*B}$  – разница энергий иона в состояниях  $B^*$  и  $B$  (см. рис.1). Эти нелинейные процессы возможны, если состояния  $B^*$  и  $B$  иона имеют одинаковую четность. Это означает, что сам переход  $B^* \rightarrow B$  является оптически запрещенным.

Таким образом, лазерное поле с частотой  $\omega_{las}$  должно приводить к возникновению двух новых спектральных линий около каждого запрещенного по четности перехода иона  $B^* \rightarrow B$ . Эти линии имеют частоты ( $\omega_{B^*B} \pm \omega_{las}$ ) и практически одинаковые интенсивности [1]. Следует отметить, что если ион  $B$  является многозарядным, то, во-первых, длины волн излучаемых лазерных сателлитов могут лежать в рентгеновской области спектра и, во-вторых, вероятности нелинейных процессов становятся достаточно большими лишь в сверхсильных лазерных полях (см. ниже).

Несмотря на то, что рентгеновские лазерные сателлиты были предсказаны более 20 лет назад, до самого последнего времени они не наблюдались. Это связано с тем, что для их экспериментального обнаружения необходимо: 1) использовать интенсивный лазерный импульс с плотностью потока  $\geq 10^{16}$  Вт/см<sup>2</sup>, 2) использовать рентгеновский спектрограф с очень хорошими спектральным разрешением  $\lambda/\Delta\lambda \geq 5000$  и 3) иметь возможность регистрации спектра излучения плазмы только в момент

действия лазерного импульса. Удовлетворить этим условиям в одном эксперименте весьма непросто. Например, довольно легко обеспечить высокие плотности потока лазерного излучения  $q > 10^{17} \text{ Вт}/\text{см}^2$  при субпикосекундной длительности лазерного импульса, но в этом случае очень сложно (даже сейчас) реализовать субпикосекундное временное разрешение рентгеновского спектрографа. В противоположном случае достаточно длинного лазерного импульса регистрации лазерных сателлитов возможна даже без временного разрешения (оно фактически может быть заменено хорошим пространственным разрешением, поскольку в этом случае за время действия лазерного импульса плазма успевает выйти из области наблюдения), но требует использования достаточно уникальных лазерных установок. Отметим, что первое наблюдение лазерных сателлитов в спектрах титановой плазмы было выполнено нами недавно [2,3] именно за счет использования одной из таких установок – "Янус" Ливерморовской Национальной Лаборатории (США), позволившей иметь плотность потока лазерного излучения  $\approx 10^{17} \text{ Вт}/\text{см}^2$  при длительности импульса  $\approx 120 \text{ пс}$ . Отметим также, что чуть позже лазерные сателлиты наблюдались в вакуумном ультрафиолетовом диапазоне [4].

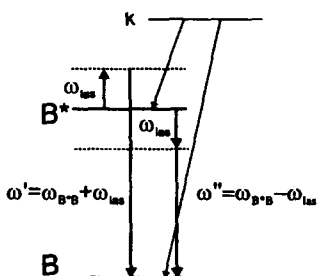


Рис.1. Схема нелинейного взаимодействия лазерных фотонов с многозарядными ионами

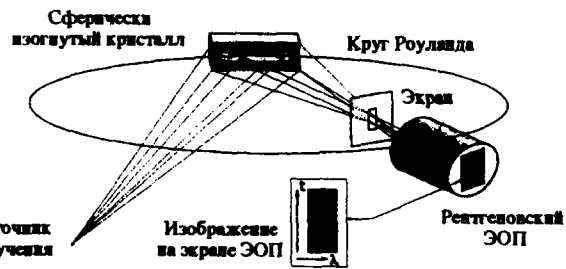


Рис.2. Схема регистрации рентгеновских спектров плазмы с временным разрешением

В настоящей работе зарегистрированы лазерные сателлиты в спектрах излучения магниевой и алюминиевой плазм, создаваемых лазерными импульсами фемтосекундной длительности. Это оказалось возможным за счет реализации пикосекундного временного разрешения в высокосветосильном рентгеновском спектрографе со сферически изогнутым кристаллом слюды. Временные характеристики зарегистрированных новых спектральных линий однозначно указывают на их формирование за счет рассмотренных выше нелинейных процессов.

**Схема эксперимента.** Эксперименты были выполнены в Центре сверхскоростных оптических исследований Мичиганского Университета.

Рентгеновские спектры возбуждались при облучении твердых мишеней излучением фемтосекундного лазера [5] с длительностью импульса 400 фс и энергией до 2 Дж на основной частоте ( $\lambda = 1.053 \text{ мкм}$ ). Излучение плазмы фокусировалось на фотокатод рентгеновской камеры Kentek (Kentec) сферически изогнутым кристаллом слюды ( $R = 186 \text{ мм}$ ) в бесщелевой схеме спектрографа FSSR-1D (см. рис.2) [6]. Спектральное разрешение системы в динамическом режиме было не хуже  $\lambda/\Delta\lambda \approx 5000$ . Временное разрешение на максимальной скорости развертки составляло 5–7 пс. Изображение с экрана камеры усиливалось МКП-усилителем света и регистрировалось 12-битной ПЗС-камерой, что обеспечивало привязку изображений по длинам волн в разных выстрелах.

**Результаты и обсуждение.** В настоящем эксперименте относительное расположение плазмы, сферического кристалла и системы регистрации было выбрано так, чтобы регистрировать спектр излучения в диапазонах 9.15–9.35 Å (во втором порядке отражения от кристалла слюды) и 6.1–6.23 Å (в третьем порядке отражения). В случае магниевой плазмы это позволяло наблюдать резонансную и интеркомбинационную линии Не-подобного иона Mg XI и их диэлектронные сателлиты, а в случае алюминиевой плазмы – линию  $1s5p^1P_1 - 1s^21S_0$  Не-подобного иона Al XII. В указанные диапазоны регистрации также должны были попадать лазерные сателлиты, обусловленные взаимодействием лазерных фотонов с состоянием  $1s2s^1S_0$  иона Mg XI и с состояниями  $1s5s^1S_0$ ,  $1s5d^1D_2$  иона Al XII.

В [1] было показано, что интенсивности лазерных сателлитов  $P$  можно оценить по формуле:

$$P(\text{Вт}/\text{см}^2) = \omega' / \omega_{las} N_{B^*} q_{las} \sigma \quad (1)$$

где  $q_{las}$  ( $\text{Вт}/\text{см}^2$ ) – плотность потока лазерного излучения,  $N_{B^*}$  ( $\text{см}^{-3}$ ) – населенность возбужденного состояния  $B^*$  иона, частоты  $\omega' = \omega_{B^*B^*} \pm \omega_{las}$  и  $\sigma$  – сечение комбинационного рассеяния, которое в приближении одного виртуального уровня может быть оценено по формуле

$$\sigma = \sigma_T [\omega_{las} \omega'^3 (\omega_{kB^*} + \omega_{kB})^2 f_{Bk} f_{B^*k}] / \{4(\omega_{kB^*} - \omega_{las})^2 (\omega_{kB} + \omega_{las})^2 \omega_{kB} \omega_{kB^*}\}, \quad (2)$$

где  $\sigma_T = 8\pi/3(e^2/mc^2)^2$  – томсоновское сечение, а  $f_{ij}$  – сила осциллятора для перехода  $i \rightarrow j$ .

Формулу (1) можно переписать, вводя вероятности индуцированных переходов  $A_{las}(\omega')$ :

$$P = \hbar \omega' N_{B^*} A_{las}(\omega'), \quad (3)$$

где  $A_{las}(\omega') = q_{las} \sigma / \hbar \omega_{las}$ . Когда энергия испускаемого фотона  $\hbar \omega'$  лежит в рентгеновском диапазоне, вероятности  $A_{las}(\omega_{B^*B} + \omega_{las})$  и  $A_{las}(\omega_{B^*B} - \omega_{las})$  оказываются практически одинаковыми и, следовательно, оба лазерных сателлита должны иметь примерно равные интенсивности. Из (2), (3) видно, что наиболее интенсивные лазерные сателлиты получаются, если состояние  $B^*$  имеет ту же мультиплетность, что и нижний уровень перехода  $B$ , поскольку в этом случае силы осцилляторов  $f_{Bk}$  и  $f_{B^*k}$  будут соответствовать оптически разрешенным переходам.

Взаимодействие лазерного фотона  $\hbar \omega_{las} = 9524 \text{ см}^{-1}$  с состоянием  $1s2s^1S_0$  иона Mg XI должно давать две сателлитные линии с длинами волн  $\lambda_{s1} \approx 9.2178 \text{ \AA}$  и  $\lambda_{s2} \approx 9.2341 \text{ \AA}$ , поскольку, по расчетам [7], энергия уровня  $1s2s^1S_0$  составляет  $1.0839 \cdot 10^7 \text{ см}^{-1}$ . Вероятности индуцированных переходов  $A_{las}(\omega')$  можно оценить по формулам (2), (3), беря в качестве уровня  $k$  состояние  $1s2p^1P_1$  (см. рис.1). Используя данные по энергиям уровней и силам осцилляторов из [7], мы получаем  $A_{las}(\lambda_{S1,S2}) \approx 1.5 \cdot 10^{13} (q_{las}/10^{17} \text{ Вт}/\text{см}^2) \text{ с}^{-1}$ . При  $q_{las} > 10^{16} \text{ Вт}/\text{см}^2$  вероятности  $A_{las}(\lambda_{S1,S2})$  больше вероятностей столкновительного девозбуждения уровня  $1s2s^1S_0$ , и интенсивности лазерных сателлитов можно оценить в рамках корональной модели. Используя скорости возбуждения уровней  $1s2p^1P_1$  и  $1s2s^1S_0$ , рассчитанные в [8], для отношения интенсивностей лазерных сателлитов к интенсивности резонансной линии получаем

$$I(\lambda_{S1,S2})/I_R = 1/2[\langle \nu \sigma (1s^2 - 1s2s^1S_0) \rangle / \langle \nu \sigma (1s^2 - 1s2p^1P_1) \rangle] \approx 0.15 \quad (4)$$

где  $I_R$  – интенсивность резонансной линии иона Mg XI, а  $\langle \nu \sigma \rangle$  – скорости возбуждения уровней  $1s2s^1S_0$  и  $1s2p^1P_1$  электронным ударом из основного состояния  $1s2s^1S_0$ . Из (4) видно, что интенсивности лазерных сателлитов достаточно велики для экспериментальной регистрации этих линий. Следует, однако, подчеркнуть, что

если лазерные сателлиты излучаются только во время  $\tau_{las}$  действия лазерного импульса, то обычные спектральные линии – во время  $\tau_{plasma}$  существования плазмы, которое определяется газодинамическими процессами и, как правило, существенно (в 10–100 раз) превышает длительность лазерного импульса. Это приводит к тому, что при регистрации спектров без временного разрешения средняя интенсивность лазерных сателлитов будет определяться выражением

$$\begin{aligned} & \langle I_{s1}/I_R \rangle = \\ & = \langle I_{s2}/I_R \rangle = 1/2[\langle \nu\sigma(1s^2 - 1s2s^1S_0) \rangle / \langle \nu\sigma(1s^2 - 1s2p^1P_1) \rangle \cdot \tau_{las}/\tau_{plasma}] \quad (5) \end{aligned}$$

которое для случая настоящего эксперимента дают величину  $\approx 0.01$ , не превышающую уровень шумов спектрограмм.

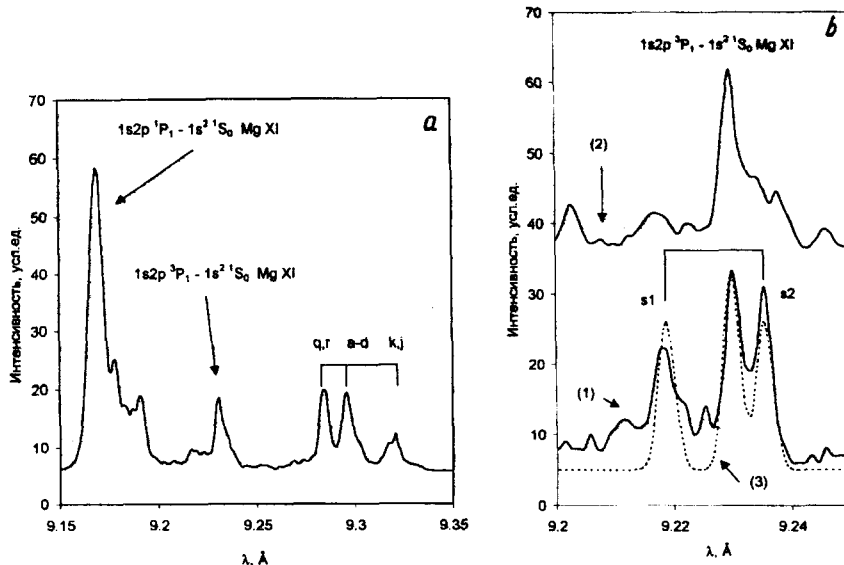


Рис.3. a) Интегральный по времени спектр излучения фемтосекундной магниевой лазерной плазмы, b) излучение магниевой плазмы в момент действия лазерного импульса (1) и сразу после его окончания (2). Кривая 3 – результат теоретического моделирования

Сказанное выше иллюстрируется экспериментальными результатами, представленными на рис.3. На рис.3a показан интегральный по времени спектр свечения магниевой плазмы в диапазоне 9.15–9.35 Å, а на рис.3b – участок спектра около интеркомбинационной линии  $1s2p^3P_1 - 1s^2 ^1S_0$ , соответствующей двум моментам времени – моменту действия лазерного импульса (кривая 1) и непосредственно после его окончания (кривая 2). На рис.3b также представлен модельный спектр (кривая 3), построенный в соответствии с выражением (6). Из рис.3a видно, что в интегральном по времени спектре лазерные сателлиты действительно неразличимы на фоне шумов спектрограммы. Лазерные сателлиты также не наблюдаются после окончания нагревающего импульса (см. кривую 2 рис.3b), а в момент действия лазерного импульса (кривая 1 рис.3b) их положение и интенсивности очень хорошо соответствуют теоретическим оценкам (кривая 3 рис.3b).

Аналогичные результаты получаются и для лазерных сателлитов к линии  $1s5p^1P_1 - 1s^2 ^1S_0$  Не-подобного иона Al XII (см. рис.4). В этом случае возможно наблюдение 4-х лазерных сателлитов, обусловленных взаимодействием лазерных фо-

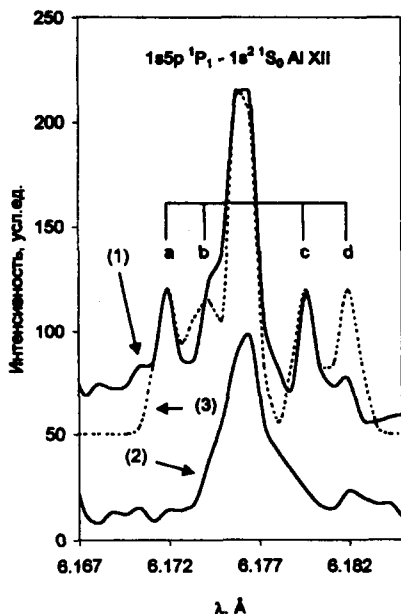


Рис.4. Излучение алюминиевой плазмы в момент действия лазерного импульса (1) и сразу после его окончания (2). Кривая 3 – результат теоретического моделирования

тонов с состояниями  $1s5d^1D_2$  (линии *a,c* на рис.4) и  $1s5s^1S_0$  (линии *b,d* на рис.4). Используя также корональную модель и оценки [9] для скоростей возбуждения переходов  $1s^2 \rightarrow 1s5l, 1L$  ( $l = s, p, d$ ), получаем, что при температуре плазмы  $T_e \approx 200$  эВ интенсивности этих лазерных сателлитов должны составлять  $\approx 0.37$  от интенсивности разрешенного перехода  $1s5p^1P_1 - 1s^2^1S_0$ . Построенный таким образом модельный спектр (кривая 3 на рис.4) соответствует экспериментальному спектру, излучаемому в момент действия лазерного импульса (кривая 1 на рис.4). Подчеркнем также, что в спектре, излучаемом плазмой сразу после окончания лазерного импульса (кривая 2 на рис.4), никаких линий в местах расположения лазерных сателлитов не наблюдается.

#### Энергии метастабильных состояний Не-подобных ионов Mg XI и Al XII

Ион	Уровень	Лазерные сателлиты		Энергия, см <sup>-1</sup>	
		Переход	$\lambda_{\text{эксп.}}, \text{\AA}$	эксперимент	теория [7]
Mg XI	$1s2s^1S_0$	$\begin{cases} 1s2s^1S_0 - 1s^2^1S_0 + \omega_{\text{las}} \\ 1s2s^1S_0 - 1s^2^1S_0 - \omega_{\text{las}} \end{cases}$	$9.2199(11)$ $9.2366(11)$	$1.0836(3) \cdot 10^7$	$1.0839 \cdot 10^7$
		$\begin{cases} 1s5s^1S_0 - 1s^2^1S_0 + \omega_{\text{las}} \\ 1s5s^1S_0 - 1s^2^1S_0 - \omega_{\text{las}} \end{cases}$	$6.1732(8)$ $6.1813(8)$	$1.6188(3) \cdot 10^7$	$1.6188 \cdot 10^7$
Al XII	$1s5d^1D_2$	$\begin{cases} 1s5d^1D_2 - 1s^2^1S_0 + \omega_{\text{las}} \\ 1s5d^1D_2 - 1s^2^1S_0 - \omega_{\text{las}} \end{cases}$	$6.1712(8)$ $6.1789(8)$	$1.6194(3) \cdot 10^7$	$1.6192 \cdot 10^7$

Примечание. Экспериментальное значение для иона в лазерном поле определялось по формуле  $E[\text{см}^{-1}] = 10^8(1/\lambda_{s1}[\text{\AA}] + 1/\lambda_{s2}[\text{\AA}])/2$ ; расчет [7] проводился для изолированного иона.

Поскольку  $E_B[\text{см}^{-1}] = 10^8(1/\lambda_{s1}[\text{\AA}] + 1/\lambda_{s2}[\text{\AA}])/2$ , то регистрация лазерных сателлитов дает прямой способ измерения энергий возбуждения метастабильных уровней ионов (см. таблицу). Следует, однако, подчеркнуть, что в присутствии сильного лазерного поля уровни будут сдвинуты по отношению к уровням изолированного иона за счет квадратичного штарк-эффекта. Например для уровня  $1s2s^1S_0$  иона

Mg XI простая оценка [10] дает величину  $\Delta E = -6.6 \cdot 10^4 [\text{см}^{-1}] (q_{las}/10^{17}[\text{Вт}/\text{см}^2])$ . При  $q_{las} > 10^6 \text{ Вт}/\text{см}^2$  величина сдвига заметно превышает погрешность измерений и, если положение уровня изолированного иона известно, может использоваться для оценки плотности потока лазерного излучения в плазме. В нашем случае, как следует из сравнения экспериментальных результатов с расчетом [7], выполненным для изолированного иона методом релятивистской теории возмущений с учетом квантовоэлектродинамических поправок, плотность потока не превышала значения  $q_{las} = 10^{16} \text{ Вт}/\text{см}^2$ .

Таким образом, реализованная в настоящей работе регистрация рентгеновского излучения плазмы с пикосекундным временным разрешением позволила наблюдать лазерные сателлиты, возбуждаемые в фемтосекундной лазерной плазме. Излучение наблюдавшихся спектральных линий только в момент действия нагревающего лазерного импульса однозначно указывает на их происхождение вследствие нелинейного взаимодействия лазерных фотонов с возбужденными состояниями многозарядных ионов магния и алюминия. Улучшение временного разрешения рентгеновского спектрографа и, особенно, увеличение динамического диапазона регистрирующей системы позволит в дальнейшем перейти к исследованию менее интенсивных нелинейных процессов более высоких порядков [11].

Исследование лазерных сателлитов представляется актуальным по целому ряду причин. Во-первых, наблюдение лазерных сателлитов позволяет проводить прямые измерения энергий возбуждения метастабильных состояний ионов, а также может использоваться для измерения напряженности лазерных полей в плазме. Во-вторых, поскольку излучение лазерных сателлитов происходит только во время действия нагревающего лазерного импульса, они могут использоваться для создания рентгеновского источника сверхкоротких импульсов. Наконец, учет процессов, приводящих к генерации лазерных сателлитов, необходим при анализе схем рентгеновских лазеров с метастабильным верхним уровнем лазерного перехода (например, лазеры на Ne- и Ni- подобных ионах) [3].

Авторы благодарны И.Л.Бейгману за полезные обсуждения. Работа частично была поддержана Российским фондом фундаментальных исследований, грант 96-02-16111.

1. А.В.Виноградов, Е.А.Юков, Квантовая электроника **2**, 105 (1973).
2. I.Yu.Skobelev, A.Ya.Faenov, A.I.Magunov et al., 7<sup>th</sup> Int. Conf. On Multiphoton, Garmisch-Partenkirchen, Germany, September 30 – October 4, 1996.
3. A.Osterheld, B.K.F.Young, J.Dunn et al., JQSRT, 1997 (in press).
4. H.R.Griem, R.C.Elton, and B.L.Welc, 7<sup>th</sup> Int. Workshop on Radiative Propertive of Hot Dense Matter, Santa Barbara, California, November 4-8, 1996.
5. D.Strickland and G.Mourou, Optics Communication **56**, 219 (1985); P.Main, D.Strickland, P.Bado et al., IEEE Journal of Quantum Electronics **24**, 398 (1988).
6. И.Ю.Скобелев, А.Я.Фаенов, Б.А.Брюнеткин и др., ЖЭТФ **108**, 1263 (1995).
7. В.А.Бойко, В.Г.Пальчиков, И.Ю.Скобелев, А.Я.Фаенов, Спектроскопические константы атомов и ионов, М.: Издательство стандартов, 1988.
8. Л.А.Вайнштейн, И.И.Собельман, Е.А.Юков, Возбуждение атомов и уширение спектральных линий, М.: Наука, 1979.
9. R.Mewe, Astron. and astrophys. **136**, 906 (1962).
10. Г.Грим, Уширение спектральных линий в плазме, М.: Мир, 1978, с.52.
11. В.П.Гавриленко, Е.А.Окс, Квантовая электроника **10**, 1910 (1983).